

مطالعه روند رویان زایی میکروسپورهای کلزا رقم پی اف (PF704) در شرایط درون

شیشه ای با استفاده از میکروسکوپ الکترونی

محمد رضا عبداللهی

همدان، دانشگاه بوعلی سینا، دانشکده کشاورزی، گروه زراعت و اصلاح نباتات

تاریخ پذیرش: ۹۰/۹/۷

تاریخ دریافت: ۹۰/۳/۲۵

چکیده

در این تحقیق، ساختار سلولی میکروسپورهای کلزا رقم پی اف (PF704)، در مسیرهای رشد و نمو گامتوفیتی و رویان زایی در شرایط درون شیشه ای (*in vitro*) با رشد و نمو گامتوفیتی میکروسپورها در شرایط برون شیشه ای (*in vivo*) از طریق مشاهدات میکروسکوپ الکترونی مقایسه می‌گردند. برنامه ریزی مجدد میکروسپورها به طرف رویان زایی شامل یک سری تغییرات مشخص است که فعالیتهای سلول و سازماندهی ساختاری آن را تحت تأثیر قرار می‌دهد و این تغییرات می‌توانند به عنوان نشانگرهایی برای مسیر رشد و نمو رویان زایی میکروسپورهای کلزا در نظر گرفته شوند. در این تحقیق میکروسپورهای کلزا رقم پی اف در روزهای مختلف پس از کشت در شرایط درون شیشه ای استخراج و برای مطالعات میکروسکوپ الکترونی نمونه‌هایی تهیه گردید. در مراحل مختلف رشد و نمو میکروسپورها، تفاوت در صفات سلولی خاصی از قبیل شکل و اندازه سلولی، معماری هسته سلول، تجمع نشاسته و حضور واکوئله‌ها، جهت شناسایی مراحل متوالی رویان زایی میکروسپورها و مسیرهای رشد و نمو دیگر در شرایط درون شیشه ای مورد مطالعه قرار گرفتند. نتایج این تحقیق نشان داد که حضور فراوان دانه‌های نشاسته در یک ناحیه خاص از سیتوپلاسم می‌تواند صفت ویژه رشد و نمو گامتوفیتی در شرایط درون شیشه ای و همچنین میکروسپورهای غیر القاء شده در شرایط القاء رویان زایی باشد.

واژه‌های کلیدی: کلزا، کشت میکروسپور، رویان زایی، رشد و نمو گامتوفیتی

نویسنده مسئول، تلفن: ۰۹۱۸۸۱۷۷۳۸۵، پست الکترونیکی: m.abdollahi@basu.ac.ir

مقدمه

مراحل رشد و نمو خاصی ممکن است (۱۰ و ۱۱). محققین (۲۲) نشان داده‌اند که در کشتهای میکروسپوری که تقریباً ۲۰ درصد از میکروسپورها به طرف رویان رشد و نمو پیدا می‌کنند، نسبت بالایی از میکروسپورها در مرحله تک هسته ای انتهایی یا در حال تقسیم و یا ابتدای دو هسته ای می‌باشند. گزارشات متفاوتی در مورد مورفولوژی میکروسپورهای مرحله تک هسته انتهایی در واریته‌های مختلف کلزا وجود دارند. میکروسپورهای تک هسته ای انتهایی کلزا در واریته وستار (Westar) حاوی ذرات نشاسته و تعداد زیادی واکوئل خیلی کوچک بود

سیتوکینز غیر قرینه میکروسپورهای کلزا پس از اولین تقسیم میتوز دانه‌گرده، یک سلول رویشی بزرگ با یک هسته حاوی کروماتین پراکنده و یک سلول زایشی کوچک با کروماتین فشرده ایجاد می‌کند. سلول زایشی سپس تقسیم شده و دو سلول اسپرماتوزوئید را در دانه‌گرده سه سلولی ایجاد می‌کند (۲۲ و ۲۴). میکروسپور تحت استرس دمایی در شرایط درون شیشه ای می‌تواند برنامه رشد و نمو خود را به طرف رویان زایی تغییر داده و تولید رویانهای هاپلوئید نماید (۵). در بیشتر گونه‌های گیاهی تغییر برنامه میکروسپور برای رویان زایی تنها در

خوردند و همچنین دیگر مسیرهای رشد و نموی میکروسپورها در شرایط درون شیشه ای با مسیر رشد و نموی گامتوفیتی در شرایط درون شیشه ای و برون شیشه ای (*in vivo*) با استفاده از مشاهدات میکروسکوپ الکترونی مقایسه شده و تفاوت‌های موجود در اندازه و شکل سلولی، معماری هسته، تجمع نشاسته و حضور واکوئلهای جهت شناسایی مراحل متوالی مسیر رویان زایی میکروسپورها و مسیرهای رشد و نموی دیگر مورد بررسی قرار می‌گیرند.

مواد و روشها

شرایط رشد گیاهان مادری: این آزمایش در مؤسسه حفاظت و بهبود کشت و تنوع زیستی دانشگاه پلی تکنیک والنسیا در کشور اسپانیا انجام گردید. رقم کلزای بهاره پی اف (*Brassica napus L. cv. PF704*) که در آزمایشات رویان زایی میکروسپور نتایج بسیار خوبی نشان داده بود (او ۱ و ۲)، در بررسی مکانیسم رویان زایی میکروسپورهای کلزا با میکروسکوپ الکترونی مورد استفاده قرار گرفت. گیاهان مادری در اتاق رشدی با ۵۵۰۰ لوکس ($3000 \mu \text{Em}^{-2}\text{S}^{-1}$) نور و فتوپریود ۸ / ۱۶ (تاریکی/روشنایی) با دمای ۱۰ / ۱۵ درجه سانتی‌گراد (شب/روز) رشد کردند.

کشت میکروسپور: کشت میکروسپور با روش عبداللهی و همکاران (او ۱ و ۲) انجام گردید. بدین ترتیب که ۱۰۰ عدد غنچه با اندازه ۲/۵-۳/۵ میلی‌متری، حاوی میکروسپورهای رویان زا، از گیاهان کشت شده در اتاق رشد *in vivo* انتخاب گردیدند. این غنچه‌ها با سدیم هیپوکلریت ۵/۲۵ درصد (وایتکس) به مدت ۱۰ دقیقه، ضد عفونی شدند و سپس دو مرتبه با آب مقطر سترون و سرد شده در دمای ۴ درجه سانتی‌گراد، هر مرتبه به مدت ۵ دقیقه، شستشو داده شد. غنچه‌های سترون شده توسط یک آسیاب حاوی ml ۳۰ محیط جداسازی میکروسپورها (۸) طی ۳ مرتبه ۱۰ ثانیه‌ای آسیاب شد. سوسپانسیون حاصل از آسیاب کردن

(۱۶)، در حالی که میکروسپورهای وارسته تاور (Tower) (۱۲) و وارسته توپاس (Topaz) (۲۲) در این مرحله رشد و نمو فاقد هر گونه نشاسته و واکوئل کوچکی بودند. مطالعات دیگر با وارسته توپاس (۲۴) نشان دادند که یک واکوئل بزرگ، بلافاصله قبل از اولین تقسیم میتوز گرده از نظر اندازه کوچک شد و این واکوئل در میکروسپورهای دو هسته ای نیز حضور داشت. همچنین این محققین در سالهای ۱۹۹۰ (۲۴) و ۱۹۹۱ (۲۵) با مطالعه بر روی رقم توپاس نشان دادند که رویانهای میکروسپوری از میکروسپورهای مرحله تک هسته ای انتهایی واکوئل دار منشاء گرفته‌اند. در کلزا، که به عنوان یک گیاه مدل در القای رویان زایی میکروسپور مطرح می‌باشد، حداقل ۸ ساعت تیمار دمایی در دمای ۳۲ درجه سانتی‌گراد لازم است تا مسیر رشد و نموی میکروسپورها به طرف رویان زایی تغییر نماید (۷). این تغییر برنامه میکروسپورها با یک سری تغییرات مشخص همراه است که فعالیت‌های مختلف سلولی و سازماندهی ساختاری اجزای داخل سلول را تحت تأثیر قرار می‌دهد و این تغییرات می‌توانند به عنوان نشانگرهایی برای فرآیند رویان زایی میکروسپور در نظر گرفته شوند (۴، ۱۹ و ۲۳). بعد از اعمال استرس القایی در شرایط درون شیشه ای، بعضی از میکروسپورها به طرف مسیر رویان زایی می‌روند در حالی که بعضی دیگر به تیمار استرس القایی حساس نبوده و مسیرهای رشد و نموی مختلفی را در پیش می‌گیرند. اگر کشت میکروسپورها در دمای ۱۸ درجه سانتی‌گراد انجام شود میکروسپورها مسیر رشد و نموی گامتوفیتی را در پیش می‌گیرند (۷). چندین مطالعه، جنبه‌های مختلف مسیر رشد و نمو رویان زای میکروسپورها را در شرایط استرس مورد بررسی قرار داده‌اند (۱۹، ۲۰ و ۲۱)، اما توجه کمی به دیگر مسیرهای رشد و نموی میکروسپورها در شرایط درون شیشه ای، تحت هر دو شرایط القایی و غیر القایی شده است. در تحقیق حاضر، تغییرات ساختاری میکروسپورهایی که به طرف مسیر رویان زایی کلید می‌

غنچه‌ها، به ترتیب از دو الک آزمایشگاهی با سوراخهایی به قطر ۱۰۶ و ۵۳ میکرومتر که بر روی هم قرار داشتند، عبور داده شد. در مرحله بعد، سوسپانسیون میکروسپورها به وسیله پمپتور و پمپت برداشته شد و به لوله‌های سانتریفیوژ سترون (۲۵ ml در هر لوله) منتقل شدند. سپس این لوله‌ها به سانتریفیوژ منتقل گردیدند. دستگاه سانتریفیوژ روی ۱۲۷۰ rpm دور در دقیقه یا ۲۰۰ g تنظیم گردید و زمان آن روی ۴ دقیقه قرار داده شد. پس از اتمام ۴ دقیقه اول، لوله‌های سانتریفیوژ از دستگاه خارج گردیدند و به زیر لامینار ایرفلو منتقل شدند. میکروسپورها در ته لوله‌ها رسوب کردند و محلول جداسازی به همراه مواد زائد در بالا قرار گرفت که این محلول به وسیله پمپت حذف شد و مجدداً به هر لوله، ۲۵ ml محلول جداسازی جدید اضافه گردید. این عمل ۳ مرتبه تکرار گردید. سپس تراکم میکروسپورها روی ۴۰۰۰۰ میکروسپور در هر میلی لیتر محیط کشت تنظیم گردید و سوسپانسیون حاوی میکروسپورها، با محیط کشت NLN-13 (۱۳) به حجم جدید رسانده شد و سوسپانسیون حاصل در داخل پتری دیش‌های شیشه‌ای به ابعاد ۱۵×۱۰۰ mm، به مقدار ۱ ml ۱۲/۵، توزیع گردید و دور آنها دو لایه پارافیلیم بسته شد و به انکوباتوری با دمای ۳۲ درجه سانتی‌گراد و تاریکی به مدت ۲ روز منتقل شدند. بعد از ۲ روز کشتها به دمای ۲۵ درجه سانتی‌گراد و تاریکی منتقل شدند.

آماده سازی میکروسپورها و رویانهای میکروسپوری برای عکسبرداری با میکروسکوپ الکترونی: به منظور مطالعات فراساختاری میکروسپورهای کلزا با میکروسکوپ الکترونی، نمونه‌های میکروسپوری به روش زیر تهیه شدند:

۱- تثبیت (Fixation) میکروسپورها و رویانهای حاصل از کشت میکروسپور در مراحل مختلف رشد و نمو در این مرحله میکروسپورهای کشت شده در روزهای ۱، ۳، ۵، ۷ و ۱۰ روز بعد از کشت میکروسپور با استفاده از

سانتریفیوژ از محیط کشت مربوطه استخراج گردیدند و سپس میکروسپورهای استخراج شده و رویانهای حاصل از کشت میکروسپور در مراحل مختلف رشد و نمو در محلول تثبیت کننده کارنوسکی (Karnovsky fixative) شامل پارافمالدهید (paraformaldehyde) ۴ درصد و گلوتارالدهید (glutaraldehyde) ۵ درصد در محلول کاکودیلات (cacodylate) ۰/۰۲۵ مولار با اسیدیتته ۷/۳ به مدت ۲ ساعت تثبیت گردیدند. سپس نمونه‌های میکروسپوری به مدت ۱ ساعت دوباره در محلول ۱ درصد اسمیوم تتروکسید (osmium tetroxide) تثبیت شدند.

۲- آگیری نمونه‌های میکروسپوری و رویانها (Dehydration) در اولین روز با استفاده از سریهای استون به صورت زیر انجام شد.

الف- استون ۳۰ درصد به مدت ۲ ساعت، ب- استون ۵۰ درصد به مدت ۳ ساعت، ج- استون ۷۰ درصد به مدت ۲/۵ ساعت و د- در نهایت استون ۱۰۰ درصد در سراسر شب

۳- تیمار نمونه‌ها با سریهای استون و اپون در روز دوم به شرح زیر انجام گرفت:

الف- استون ۱۰۰ درصد به مدت ۴ ساعت، ب- تیمار نمونه‌ها با محلول استون- پروپیلن اکسید (۵۰-۵۰ درصد) به مدت ۵ دقیقه، ج- تیمار با پروپیلن اکسید ۱۰۰ درصد به مدت ۳۰ دقیقه و د- تیمار با استون ۱۰۰٪ (سه بار هر دفعه ۵ دقیقه)، ذ- تیمار نمونه‌ها با محلول استون- اپون (۹۰-۱۰ درصد) به مدت ۶ ساعت، ر- تیمار با محلول استون-اپون (۷۵-۲۵ درصد) در سراسر شب

۴- در روز سوم نمونه‌های میکروسپوری و رویانها در سریهای اپون به ترتیب زیر تیمار گردیدند:

الف- اپون ۵۰ درصد به مدت ۴ ساعت، ب- اپون ۷۵ درصد به مدت ۴/۵ ساعت و ج- اپون ۱۰۰ درصد در سراسر طول شب

نتایج

رشد و نمو گامتوفیتی در شرایط درون شیشه ای: کشت میکروسپورها در مرحله تک هسته ای انتهایی واکوئل دار (شکل A) در دمای ۲۵ درجه سانتی گراد منجر به رشد و نمو آنها به صورت گامتوفیتی گردید، به طوریکه دو و سه روز بعد از کشت میکروسپور در دمای ۲۵ درجه سانتی گراد، میکروسپورها به طرف ساختارهایی مشابه با دانه گرده دو سلولی (شکل B) و سه سلولی رشد و نمو پیدا کردند. این ساختارهای مشابه دانه گرده، حاوی هسته رویشی، زایشی، اسپرماتوزوئیدها و سیتوپلاسم متراکم بودند. ساختارهای چند سلولی یا رویانها در این کشتهای مشاهده نشدند. در نواحی خاصی از سیتوپلاسم این دانه های گرده کشت شده، تجمعی از دانه های نشاسته مشاهده گردید (شکل C). در سطح فراساختاری، تعداد بی شماری آمیلوپلاست بزرگ حاوی دانه های نشاسته (شکل C) در سیتوپلاسم این گرده های رشد و نمو پیدا کرده در شرایط درون شیشه ای مشاهده گردید.

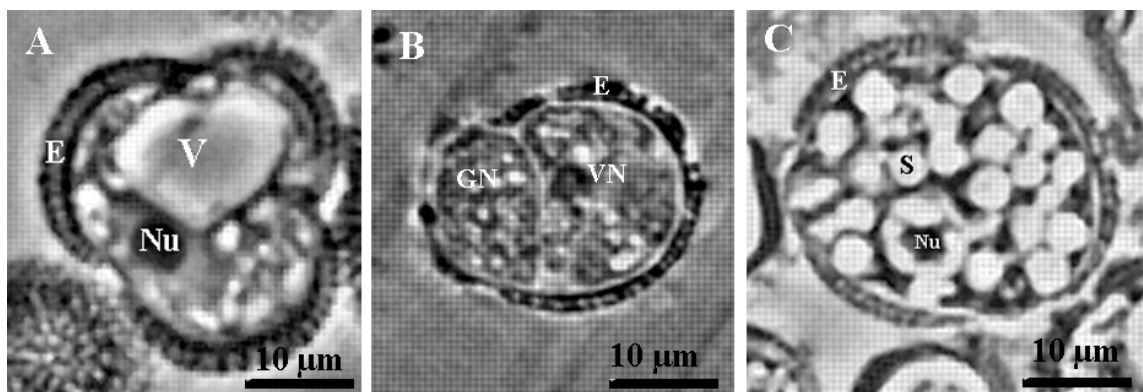
۵- در چهارمین روز نمونه ها به مدت ۸/۵ ساعت در اپون (یک نوع رزین) ۱۰۰ درصد و سپس در طول شب در محلول اپون ۱۰۰ درصد و سرعت دهنده (Accelerator) قرار گرفتند.

۶- در روز پنجم نمونه ها به مدت ۷/۵ ساعت در محلول اپون ۱۰۰ درصد حاوی سرعت دهنده (Accelerator) قرار گرفتند.

۷- پس از انجام عمل آگیری با سریهای استون و اپون نمونه ها در داخل کپسولهایی از جنس پلی اتیلن گلیکول قرار گرفتند (Encapsulation) و به مدت ۳ روز در دمای ۶۰ درجه سانتی گراد به منظور عمل پلیمریزاسیون قرار گرفتند.

۸- از نمونه های پلیمریزه شده، برشهایی به ضخامت ۰/۵ میکرومتر تهیه گردید (Cutting).

۹- در نهایت عکس برداری از برشهای تهیه شده با میکروسکوپ الکترونی مدل Jeol 1010 EM در ۸۰ KV انجام گردید.



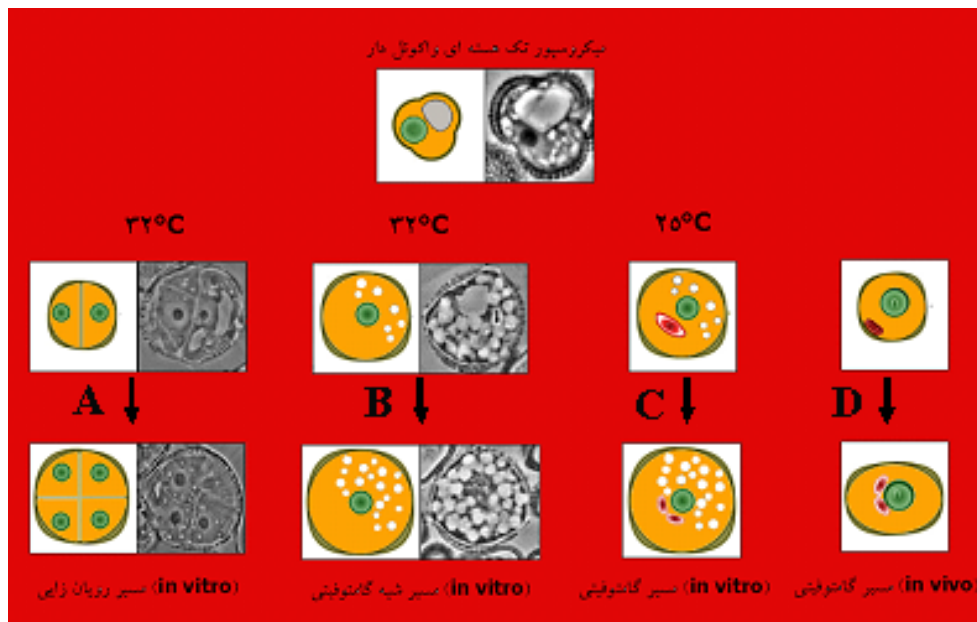
شکل ۱- کشت میکروسپورهای کلزا در دمای ۲۵ درجه سانتی گراد که منجر به رشد و نمو آنها به صورت گامتوفیتی گردید، (A) یک میکروسپور مناسب برای رویان زایی که در مرحله تک هسته ای انتهایی حاوی یک واکوئل بزرگ است، (B) رشد و نمو گامتوفیتی یک میکروسپور دوسلولی با تقسیم غیر قرینه حاوی سلول رویشی و زایشی که در دمای ۲۵ درجه سانتی گراد (شرایط غیر رویان زا) کشت شده است، (C) رشد و نمو شبه گامتوفیتی یک میکروسپور غیر رویان زای کشت شده در دمای ۲۵ درجه سانتی گراد که با تجمع نشاسته در سیتوپلاسم همراه است. (V) واکوئل بزرگ، (Nu) هستک بزرگ، (E) آگزین، (VN) هسته رویشی، (GN) هسته زایشی، (S) نشاسته

در دمای ۳۲ درجه سانتی گراد (حداقل به مدت ۸ ساعت)، مخلوطی از مسیر های رشد و نموی متفاوت مشاهده

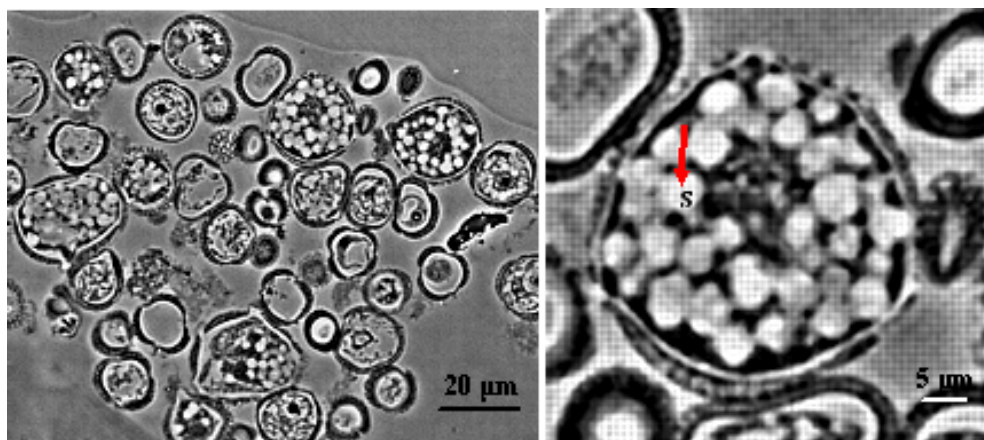
رشد و نمو میکروسپورها در شرایط درون شیشه ای تحت استرس دمایی: در کشتهای میکروسپور انکوبه شده

میکروسپوره‌های توسعه یافته در شرایط ۲۵ درجه سانتی‌گراد بودند. در این کشتها هیچ دانه‌گرده دو سلولی یا سه سلولی در میان ساختارهای غیر رویان‌زا مشاهده نگردید و این پدیده نشان‌دهنده این است که تقسیم میتوز گرده در بیشتر موارد، بعد از تیمار گرمایی متوقف گشته است.

گردید (شکل ۲A-C). تعداد زیادی از میکروسپوره‌ها یک برنامه رشد و نمو رویان‌زای را آغاز کردند اما این میکروسپوره‌ها علی‌رغم داشتن یک سازماندهی ساختاری، شباهتهایی با رشد و نمو گامتوفیتی در شرایط درون‌شیشه‌ای نشان دادند. این میکروسپوره‌ها حاوی دانه‌های نشاسته فراوان بودند (شکل ۳) و از این جنبه مشابه



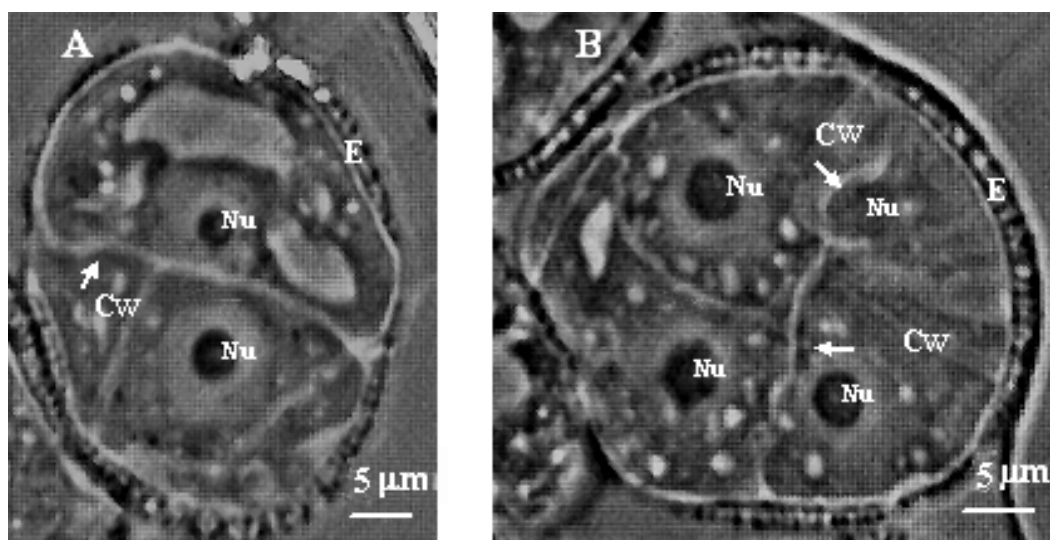
شکل ۲- مسیرهای مختلف رشد و نمو میکروسپوره‌های کلزا رقم پی‌اف در شرایط درون‌شیشه‌ای (A) مسیر رویان‌زایی در شرایط درون‌شیشه‌ای، (B) مسیر شبه‌گامتوفیتی در شرایط درون‌شیشه‌ای، (C) مسیر گامتوفیتی در شرایط درون‌شیشه‌ای، (D) مسیر گامتوفیتی در شرایط طبیعی (in vivo)



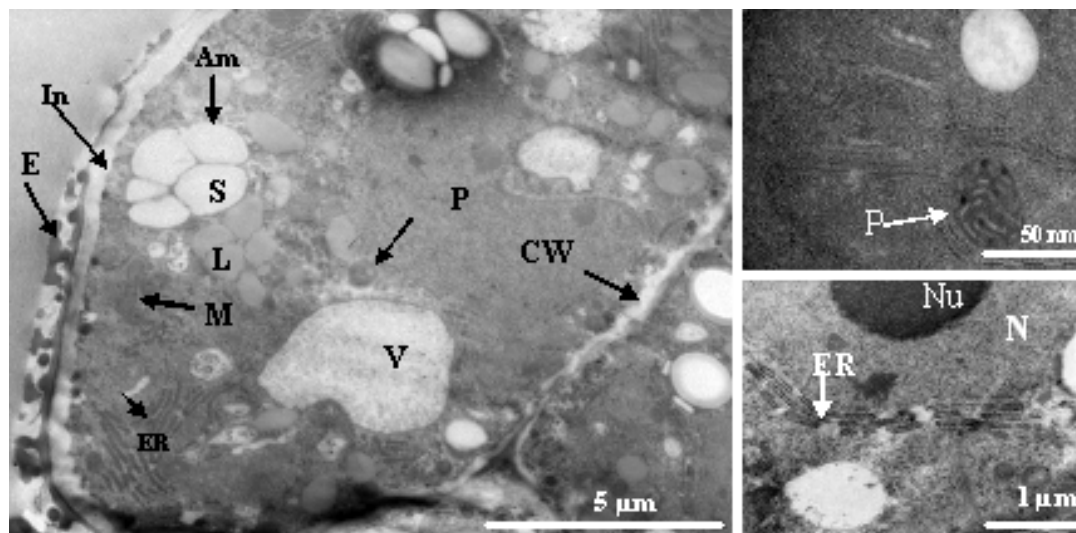
شکل ۳- توده‌های غیر جنین‌زا با مسیر رشد و نمو شبه‌گامتوفیتی که با تجمع نشاسته در داخل سیتوپلاسم همراه است، (S) دانه نشاسته.

سلولها غنی از اندامکها، وزیکولها و شبکه آندوپلاسمی می‌باشد (شکل ۵). آمیلوپلاستهای حاوی تعداد کمی دانه‌های نشاسته و همچنین واکوئل‌های کوچک به‌طور یکنواخت در سراسر سیتوپلاسم این سلولها پراکنده شده‌اند (شکل ۵). در مراحل بعدی رشد و نمو پارگی‌اگزین در اطراف ساختارهای چند سلولی مشاهده گردید و تعداد بی‌شماری از سلولهای در حال تقسیم، در حالی که هنوز بعضی از بقایای اگزین در اطراف قابل مشاهده بود، ساختارهای کروی یا پیش‌رویانه‌ها را تشکیل دادند (شکل ۶A). ویژگی فراساختاری سلول‌های این ساختارهای کروی و پیش‌رویانه‌ها شبیه به وضعیت سلول‌ها قبل از پارگی‌اگزین بود (شکل ۶B). در مراحل رشد و نمو پیشرفته‌تر، رویانه‌های کروی (شکل ۷A, B) به وجود آمدند و در ادامه سلولها در بعضی نواحی دراز شده و رویانه‌های قلبی‌شکل (شکل ۷C) را تشکیل دادند. یک لایه بیرونی حاوی سلولهای کوچک، به ردیف شده و هم‌اندازه مشابه سلولهای اپیدرمی (protodermis) در اکثر این رویانه‌ها به چشم می‌خورد.

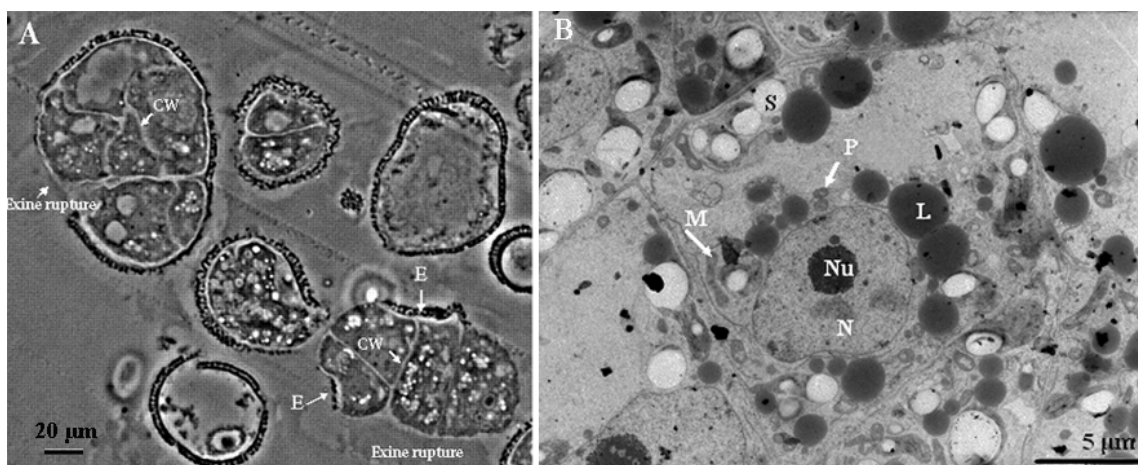
میکروسپورهای پاسخ‌دهنده به رویان زایی، مسیر رویان‌زایی را با یک تقسیم سلولی قرینه آغاز کردند (شکل ۴A) که منجر به تشکیل یک ساختار دوسلولی قرینه، یک روز بعد از انکوباسیون میکروسپورها در دمای ۳۲ درجه سانتی‌گراد گردید. دو سلول حاصل و هسته مربوط به آنها بر خلاف گرده‌های دوسلولی حاصل از رشد و نمو گامتوفیتی، از نظر اندازه، شکل و سازماندهی با هم مشابه بودند. سیتوپلاسم آنها متراکم ولی فاقد واکوئل بزرگ بودند. هیچ یا تعداد کمی دانه نشاسته در این ساختارهای رویان‌زای دوسلولی قابل مشاهده بود. پس از این مرحله، تقسیمات بعدی، منجر به ایجاد ساختارهای چند سلولی گردید که همچنان توسط اگزین احاطه شده بودند (شکل ۴B). سلولها، در این ساختارهای چند سلولی حاوی تعداد کمی دانه‌های نشاسته بودند که در داخل سیتوپلاسم پراکنده بودند. دیواره‌های سلولی جداکننده سلولها به خوبی در این ساختارهای چند سلولی قابل مشاهده هستند. این ساختارهای چند سلولی همچنان توسط اگزین احاطه شده‌اند. آنالیز فراساختاری نشان داد که سیتوپلاسم این



شکل ۴- مسیر رشد و نمو رویان‌زای در کشت میکروسپور کلزا رقم پی اف ۷۰۴ (A) یک میکروسپور پاسخ‌دهنده به رویان‌زایی، که مسیر رویان‌زایی را با یک تقسیم سلولی قرینه آغاز کرده و منجر به تشکیل یک ساختار دوسلولی، یک روز بعد از انکوباسیون در دمای ۳۲ درجه سانتی‌گراد گردیده است. یک دیواره سلولی نازک دو سلول را به صورت قرینه از هم جدا کرده است، (B) یک ساختار چهار سلولی قرینه که در ادامه رشد و نمو رویان‌زایی به دست آمده است و همچنان توسط اگزین احاطه شده است. دیواره‌های سلولی جداکننده سلولها به خوبی در این ساختار چند سلولی قابل مشاهده هستند. (Nu) هسته، (E) اگزین، (CW) دیواره سلولی.



شکل ۵- یک میکروسوپور رویان زا بعد از تقسیم قرینه. سیتوپلاسم سلولهای این ساختار سلولی غنی از اندامکها، وزیکولها و شبکه آندوپلاسمی می باشد و همچنین آمیلوپلاستهای حاوی تعداد کمی دانه های نشاسته و همچنین واکونلهای کوچک به طور یکنواخت در سراسر سیتوپلاسم این سلولها پراکنده شده اند (P) پروپلاستید، (M) میتو کندری، (L) لیپید، (CW) دیواره سلولی جدید، (E) آگزین، (In) ایتین، (ER) شبکه آندوپلاسمی، (Am) آمیلوپلاست، (V) واکونل کوچک



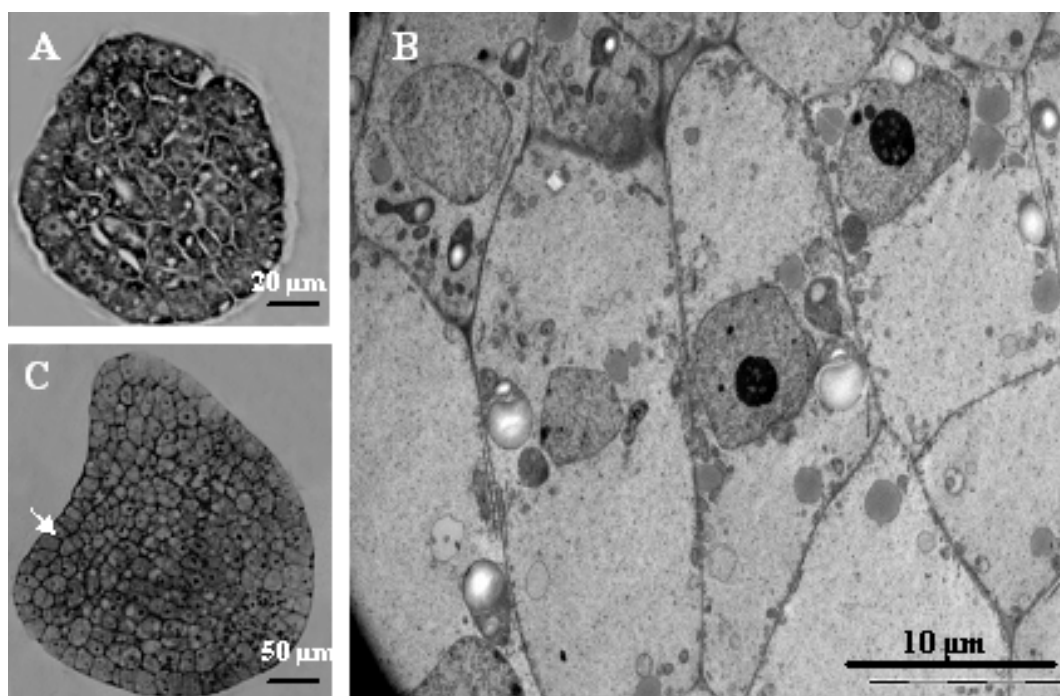
شکل ۶- سلولهای در حال تقسیم، که هنوز بعضی از بقایای آگزین در اطراف آنها قابل مشاهده است و ساختارهای کروی یا پیش رویانها را تشکیل داده اند (A)، ویژگی فراساختاری سلولهای موجود در ساختارهای کروی و پیش رویانها که شبیه به وضعیت سلولها قبل از پارگی آگزین است (B). (N) هسته، (Nu) هستک، (P) پروپلاستید، (M) میتو کندری، (L) لیپید، (CW) دیواره سلولی جدید، (E) آگزین، (S) نشاسته.

بحث

تحت شرایط القائی (استرس دمایی ۳۲ درجه سانتی گراد) و غیر القایی (۲۵ درجه سانتی گراد) مورد بررسی قرار گرفت. نتایج این تحقیق نشان داد که بیشتر صفات سلولی میکروسپوره‌های کشت شده در دمای ۲۵ درجه سانتی گراد مشابه مسیر رشد و نمو میکروسپورها در شرایط برون شیشه ای (*in vivo*) می باشد. این صفات عبارتند از جذب

کشت میکروسپور کلزا، یک سیستم مناسب برای القای مسیر رشد و نمو رویان زایی و همچنین گامتوفیتی در شرایط درون شیشه ای شناخته شده است (۷، ۱۵ و ۲۲). در این تحقیق مسیر های رشد و نمو میکروسپور های کلزا رقم PF704 پس از کشت در شرایط درون شیشه ای

ثانویه واکوئل بزرگ، اولین و دومین تقسیم میتوز گرده، ترکیب سیتوپلاسم، اندازه و شکل سلولی و الگوی انقباض کروماتین در هسته‌های رویشی، زایشی و اسپرماتوزوئید ها (۱۸).



شکل ۷- مراحل کروی و قلبی شکل رویانه‌های حاصل از کشت میکروسپور کلزا رقم پی اف ۷۰۴، (A) یک جنین کروی کلزا، ۸ روز بعد از کشت میکروسپور، (B) فراساختار سلول‌های سطحی یک رویان کروی، (C) یک جنین قلبی شکل کلزا ۱۱ روز بعد از کشت میکروسپور کلزا. فلش سفید رنگ سلول‌های اپیدرمی (Protodermis) به ردیف شده را در سطح یک رویان قلبی شکل نشان می‌دهد.

ای همراه است که منجر به ایجاد گرده‌های دو سلولی و سه سلولی محتوی مقدار زیادی نشاسته می‌گردد. در مقابل رشد و نمو گرده‌ها، در شرایط برون شیشه‌ای (*in vivo*) با تجمع نشاسته همراه نمی‌باشد (۱۸) بعد از تیمار استرس دمایی، تغییراتی در بیان پروتئین‌های مربوط به شوک دمایی و MAPKinase ها، در کشت میکروسپورهای کلزا گزارش شده است (۶، ۲۰ و ۲۱). این تغییرات در میکروسپورهای غیر رویان‌زا هم با سطحی متفاوت مشاهده شده است. این یافته‌ها بیان‌کننده نقش این مولکول‌ها نه تنها در پاسخ به استرس دمایی، بلکه در شروع مسیر رویان‌زایی می‌باشند (۲۰ و ۲۱). مسیر غیر رویان‌زا در کشتهای میکروسپور انکوبه شده در دمای بالا، شباهتهایی با مسیر رشد و نمو شبه گامتوفیتی در شرایط درون شیشه‌ای غیر القایی نشان داد با این تفاوت که میتوز دانه گرده در این کشتها به

نتایج ارائه شده در این تحقیق مشخص گردید که مهم‌ترین تفاوت بین رشد و نمو گامتوفیتی در شرایط درون شیشه‌ای و برون شیشه‌ای (*in vivo*)، تجمع دانه‌های نشاسته به میزان زیاد و به صورت غیر قرینه در داخل سیتوپلاسم است که این وضعیت انحصاراً در مسیر رشد و نمو گامتوفیتی میکروسپورها در شرایط درون شیشه‌ای مشاهده گردید. توسعه پلاستیدها و تجمع نشاسته یک ویژگی شناخته شده و متمایز در طول تشکیل گرده در بسیاری از گونه‌های گیاهی محسوب می‌گردد (۹). در چندین گونه گیاهی، ذخایر کربوهیدراتها در گرده بالغ به شکل گرانول‌های نشاسته نمی‌باشد بلکه به صورت پلی ساکاریدهای سیتوپلاسمی، به ویژه ساکاروز می‌باشد (۹ و ۱۴). در کشت میکروسپور کلزا، تحت شرایط غیر القایی، تجمع نشاسته با پیشرفت مسیر گامتوفیتی و تقسیمات گرده

تمایل قطبی، ویژگی ذاتی بیشتر سلولهای یوکاریوتی است که تشکیل و مکانیسمهای کنترل‌کننده آن در دست بررسی است (۳ و ۱۷). مسیرهای درون‌شیشه‌ای غیر رویان‌زا در میکروسپوره‌ای که نشاسته در بخشهای سیتوپلاسمی خاصی تجمع می‌یابد، می‌تواند یک سیستم ساده‌ای را برای آنالیز سؤالهای مربوط به رشد و تشکیل قطبیت سلولی ایجاد نماید. در این تحقیق معماری سلولی میکروسپورهایی که به طرف مسیر رویان‌زایی کلید خورده‌اند بررسی گردید و همچنین مسیرهای رشد و نمو میکروسپورهای کلزا رقم PF704 در شرایط درون‌شیشه‌ای با مسیر رشد و نمو گامتوفیتی در شرایط درون‌شیشه‌ای و برون‌شیشه‌ای مقایسه گردیدند. تفاوتها در اندازه و شکل سلول، معماری هسته، تجمع نشاسته و حضور یا عدم حضور واکنش‌ها جهت شناسایی مراحل مختلف رویان‌زایی میکروسپور و مسیرهای رشد و نمو دیگر در شرایط درون‌شیشه‌ای مطالعه گردیدند.

ندرت مشاهده گردید. نتایج این تحقیق بیان‌گر این مطلب است که برنامه گامتوفیتی در میکروسپوره‌ای انکوبه شده در دمای بالا به طور کامل متوقف نمی‌گردد و میکروسپوره‌ای تیمار شده با استرس دمایی که به طرف مسیر رویان‌زایی کلید نخورده‌اند، می‌توانند به طور محدودی، بعضی از حوادث ساختاری و متابولیکی مربوط به تمایز‌گرده‌ای را به استثنای تقسیم غیر قرینه نشان دهند. تجمع فراوان دانه‌های نشاسته در یک نیمه سیتوپلاسم، بین هسته و آگزین به نظر می‌رسد که یک ویژگی شاخص رشد و نمو غیر رویان‌زای میکروسپور در شرایط درون‌شیشه‌ای باشد چون این پدیده هم در شرایط القایی و هم در شرایط غیرالقایی رویان‌زایی اتفاق می‌افتد. این پدیده همچنین می‌تواند به عنوان یک اثر ذاتی شرایط کشت تعبیر گردد که یک محیط غنی از قندها را درگیر می‌کند. مطالعات بیشتر با مقایسه کردن شرایط کشت مختلف در چندین سیستم این سؤال را روشن خواهد ساخت.

منابع

- عبداللهی، محمد رضا؛ معینی، احمد؛ جلالی جواران، مختار؛ حدادی، پرهام (۱۳۸۲). رویان‌زایی از کشت جدایه‌های میکروسپوری در ارقام مختلف کلزا (*Brassica napus* L.). پژوهش و سازندگی، شماره ۶۰، صفحه ۴۸-۵۲.
- Abdollahi, M. R., Moieni, A., Jalali Javaran, M. (2004). Interactive effects of heat shock and culture density on embryo induction in isolated microspores culture of *Brassica napus* L. cv. Global. Iranian Journal of Biotechnology, 2: 97-100.
- Baluska, F., Wojtaszek, P., Volkman, D., Barlow, P. (2003). The architecture of polarized cell growth: the unique status of elongating plant cells. Bioessays, 25: 569-576.
- Bárány, I., González-Melendi, P., Fadón, B., Mitykó, J., Risueno, M. C., Testillano, P. S. (2005). Microspore-derived embryogenesis in *Capsicum annum* L.: sub-cellular rearrangements through development. Biology of the Cell, 97: 709-722.
- Chupeau, Y., Caboche, M., Henry, Y. (1998). Androgenesis and haploid plants. Springer-Verlag, Berlin, Heidelberg.
- Cordewener, J. H. G., Hause, G., Görden, E., Busink, R., Hause, B., Dons, H. J. M., van Lammeren, A., Van Lookeren-Campagne, M., Pechan, P. (1995). Changes in synthesis and localization of members of the 70-kDa class of heat-shock proteins accompany the induction of embryogenesis in *Brassica napus* L. microspores. Planta, 196: 747-755.
- Custers, J. B. M., Cordewener, J. H. G., Nollen, Y., Dons, J. J. M. and Van Lookeren Campagne, M. M. (1994). Temperature controls both gametophytic and sporophytic development in microspore cultures of *Brassica napus*. Plant Cell Reports, 13: 267-271.
- Fletcher, R., Coventry, J. and Kott, L. S. (1998). Double Haploid Technology for Spring and Winter *Brassica napus*, Technical Bulletin, OAC Publication, Canada
- Franchi, G. G., Bellani, L., Nepi, M., Pacini, E. (1996). Types of carbohydrate reserves in pollen: localization, systematic distribution and ecophysiological significance. Flora, 191: 143-159.
- González-Melendi, P., Testillano, P. S., Ahmadian, P., Fadón, B., Vicente, O., Risueno,

- M. C. (1995). *In situ* characterization of the late vacuolate microspore as a convenient stage to induce embryogenesis in *Capsicum*. *Protoplasma*, 187: 60-71.
- 11- González-Melendi, P., Testillano, P. S., Préstamo, G., Fadon, B., Risueno, M. C. (1996). Cellular characterization of key developmental stages for pollen embryogenesis induction. *International Journal of Developmental Biology*, 1: 127S-128S.
- 12- Grant, I., Beversdorf, W. D., Peterson, R. L. (1986). A comparative light and electron microscopic study of microspore and tapetal development in mate fertile and cytoplasmic male sterile oilseed rape (*Brassica napus*). *Canadian Journal of Botany*, 64:1055-1068
- 13- Lichter, R. (1982). Efficient yield of embryoids by culture of isolated microspore of different *Brassicaceae* species. *Plant Breeding*, 103: 119-123
- 14- Pacini, E. (1996). Types and meaning of pollen carbohydrate reserves. *Sexual Plant Reproduction*, 9: 362-366.
- 15- Pechan, P. M., Keller, W. A. (1988). Identification of potentially embryogenic microspores in *Brassica napus*. *Physiologia Plantarum*, 74: 377-384.
- 16- Polowick, P. I., Sawhney, V. K. (1990). Microsporogenesis in a normal line and in the *ogu* cytoplasmic male-sterile line of *Brassica napus* L. The influence of high temperature. *Sexual Plant Reproduction*, 3: 263- 276
- 17- Samaj, J., Baluska, F., Hirt, H. (2004). From signal to cell polarity: mitogen-activated protein kinases as sensors and effectors of cytoskeleton dynamicity. *Journal of Experimental Botany*, 55: 189-198.
- 18- Satpute, G. K. Long, H. Segui-Simarro, J. M. Risueno, M. C. Testillano, P. S. (2005). Cell architecture during gametophytic and embryogenic microspore development in *Brassica napus* L. *Acta Physiologiae Plantarum*, 27: 665-674.
- 19- Seguí-Simarro, J. M. (2001). Embryogenesis induction in pollen: Cellular characterization and expression of stress proteins. PhD doctoral thesis. Complutense University of Madrid, Madrid, Spain.
- 20- Seguí-Simarro, J. M., Testillano, P. S., Jouannic, S., Henry, Y., Risueno, M. C. (2005). MAP kinases are developmentally regulated during stress-induced microspore embryogenesis in *Brassica napus* L. *Histochemistry and Cell Biology*, 123: 541-551.
- 21- Seguí-Simarro, J. M., Testillano, P. S., Risueno, M. C. (2003). Hsp70 and Hsp90 change their expression and subcellular localization after microspore embryogenesis induction in *Brassica napus* L. *Journal of Structural Biology*, 142: 379-391.
- 22- Telmer, C. A., Simmonds, D. H. and Newcomb, W. (1992). Determination of developmental stage to obtain high frequencies of embryogenic microspores in *Brassica napus*. *Physiology of Plant*, 84: 417-424.
- 23- Testillano, P. S., González-Melendi, P., Coronado, M. J., Segui, J. M., Moreno, M. A., Risueno, M. C. (2005). Differentiating plant cells switched to proliferation re-model the functional organization of nuclear domains. *Cytogenetic and Genome Research*, 109: 166-174.
- 24- Zaki, M. A. M. and Dichinson, H. G. (1990). Structural changes during the first division of embryos resulting from anther and free microspore culture in *Brassica napus*. *Protoplasma*, 156: 149-162.
- 25- Zaki, M. A. M. and Dichinson, H. G. (1991). Microspore-derived embryos in *Brassica*: The significance of division symmetry in pollen mitosis I to embryogenic development, *Sexual Plant Reproduction*. 4: 48-55.

Study of *In vitro* microspore embryogenesis of rapeseed (*Brassica napus* L. cv. PF₇₀₄) with electron microscopy

Abdollahi M.R.

Agronomy and Plant Breeding Dept., Faculty of Agriculture, Bu-Ali Sina University, Hamedan I.R. of Iran

Abstract

In this research, ultrastructure of rapeseed (*Brassica napus* L. cv. PF₇₀₄) microspores following the gametophytic and embryogenic developmental pathways *in vitro* was compared with the gametophytic development *in vivo* via electron microscopy. In reprogramming of rapeseed microspores to the embryogenesis pathway, there are some defined changes influencing the cell activities and structure. Some of these changes can be considered as microspore embryogenesis pathway in rapeseed. In this study, rapeseed microspores were isolated at different days after *in vitro* culture and prepared for electron microscopy studies. During the different developmental stages of rapeseed microspores, Differences in specific cellular properties such as cell size and shape, nuclear architecture, starch accumulation, presence of vacuoles were studied to characterize different stages of microspore embryogenesis and other pathways occurring *in vitro*. Results, showed the presence of abundant starch grains in a defined cytoplasmic region appeared as a specific property of the gametophytic development *in vitro*, as well as of the non-induced microspores of *in vitro* cultures under embryogenic-inductive conditions.

Key words: *Brassica napus* L. Rapeseed, Microspore culture, Embryogenesis, Gametophytic development